

] 10 5r •

KAWASAKI STEEL GIHO

Vol.13 (1981) No.4

, K 8/æ °!c(• Ø1* Z#.1=b Å#Y

Application of a New Theory for Size Control of Coal

'Y , "P ž(Shizuki Kasaoka) 7 ÷ £ ~ (Mitsuzo Aoyama) £ î ú §(Kenji Yamazaki) j3¶ ,e Ō

新しい装入炭粒度調整理論の応用
Application of a New Theory for Size Control of Coal

笠岡 玄樹*
Shizuki Kasaoka

青山 充三**
Mitsuzo Aoyama

山崎 健二***
Kenji Yamazaki

杉辺 英孝****
Hidetaka Suginobe

宮川 亜夫*****
Tsugio Miyagawa

Synopsis:

A new method for size control of coal has been introduced into the operation system at Mizushima Steel-works, Kawatetsu Chemical Industry Co., Ltd., where the charge for coke ovens consists of 15 to 20 types of coal crushed, respectively. To obtain maximum coke strength by enhancing homogeneity and bulk density of the charge, the crushing degree of each brand of coal is determined by a mathematical model based on the theory concerning relation between coke strength and size distribution of coal. The determined crushing degree is achieved by controlling electric power for the crusher and measuring size distribution and Hardgrove Grindability Index of coal before crushing. Through this development of systematic control of coal sizes an increase in coke strength has been attained.

1. 緒 言

銘柄別粉碎粒度の決定方法、ならびにその粒度管理については、従来、定性的かつ経験的な要素

原料炭配合工程における粉碎粒度管理は、コー 本報では、この点に関する理論的な結果を踏まえ

範囲で装入炭の一 3 mm 含有率を上げて設定を行なう。

ここで、(3)式の微係数の符号について考える
と、Fig.1に示すように支配因子に対してヨーク
→ヨムホウヒンセイヨウサクヘヨウシキヘキスルタクニカルシキ

て(3)式は(7)式となる。

$$S(\bar{R}_o, MF) = S_1(\bar{R}_o) + S_2(MF) \dots\dots\dots (6)$$

$$\bar{S} = S + k_1 \frac{\partial^2 S}{\partial \bar{R}_o^2} \sum_{i=1}^n F_i D_i^2 \bar{R}_o^2$$

$$\frac{\partial^2 S}{\partial \bar{R}_o^2} = \frac{n}{P} > 0$$

いことがわかる。

$$D = \sum_{i=1}^n F_i (\bar{MF} - MF_i)^2 f(P_i) \rightarrow \text{Min.}$$

$$\text{制約条件 } \sum_{i=1}^n F_i P_i = 100 \bar{P}$$

通常の装入炭性状の範囲では、MFはFig.1の
ようか関数とかさが \bar{R} についてはほぼ直線にな

る。ここで、 P 設定時には各鉱柄の配合率 F お

ることは実験的に知られている。従って、

$$\left| \frac{\partial^2 S}{\partial MF^2} \right| > \left| \frac{\partial^2 S}{\partial \bar{R}_o^2} \right| \neq 0 \dots\dots\dots (8)$$

より流動性 MF_i 、装入炭の流動性 \bar{MF} および -3 mm 含有率 \bar{P} は既知である。

考えられる。

また、 \bar{r}_i^3 はFig.2に示すように、 -3 mm 含有

通常、コクス炉内の装入炭嵩密度は装入炭の -3 mm 含有率と Fig.3 に示す関係にあるが、同

d_1 : 篩上歩留68.5%の部分の平均粒径

d_2 : 篩下歩留21.5%の部分の平均粒径

20

-3 mm content, $\bar{P}(\%)$ of the charge

Fig. 1. Operational data employing the homogeneity model (D model)

Test No.	-3 mm content \bar{P} of the charge, (%)	Fluidity of the charge MF (log DDPM)	D value (10^2)	B value	Coke strength, S	β (10^{-3})	α (10^{-4})
① 1 N A	84.14	2.507	12.370 5.536 (-6.834)	35.318 40.660 (5.342)	92.98 93.14 (0.16)	4.16	-2.02
② 2 N A	83.87	2.519	13.629 4.574 (-9.055)	43.881 43.516 (-0.365)	92.99 93.00 (0.01)	4.12	-0.13
③ 3 N A	85.35	2.496	6.816 4.001 (-2.815)	42.629 47.386 (4.757)	92.80 93.00 (0.20)	4.31	-6.38
④	84.86	2.506	7.029	37.831	93.05	4.95	6.92

には、精度が必ずしも十分ではなかった。自動粒 要動力を W (kW), 空転動力を W_0 (kW), 石炭供

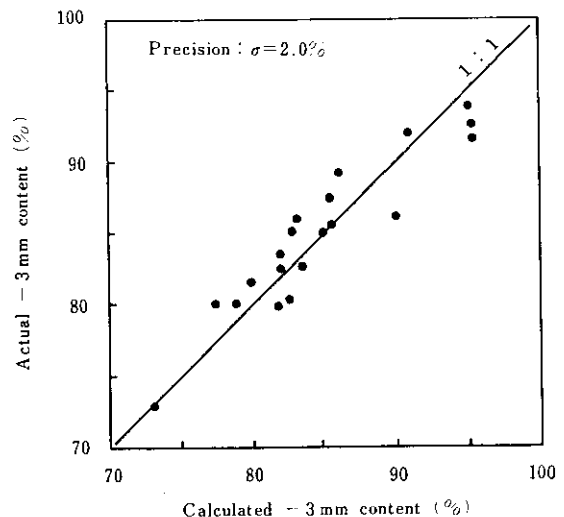
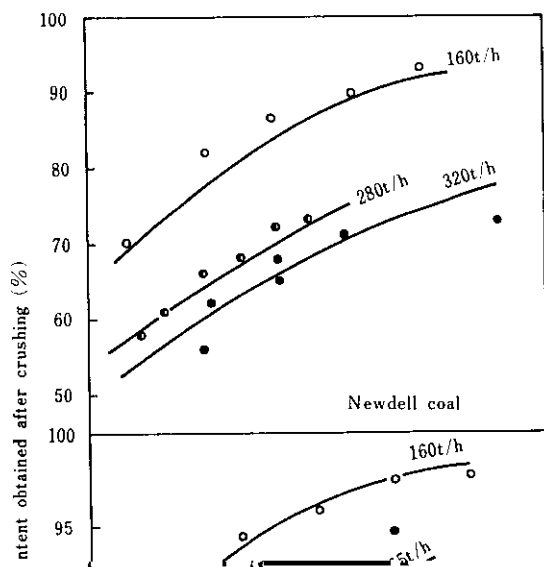


Fig. 13 Relation between actual size and calculated one by the model equation

■ : Conveyor scale

□ : Control damper

○ : Ammeter



参考文献

- 1) 杉辺, 宮川:「装入炭粒度構成, 均一性およびコークス強度の一般的関係」, 鉄と鋼, 64 (1978) 11, S513
- 2) 杉辺, 宮川, 笠岡, 青山:「コークス強度に対する装入炭粒度構成の効果」, 鉄と鋼, 66 (1980) 4, S69
- 3) 杉辺, 宮川, 堀越, 安倍, 伊神, 滝沢, 笠岡, 青山:「新しいコークス強度推定法の開発」川崎製鉄技報, 13 (1981) 2, 87

"Granular Mixture", Coke and Chemistry, (1967) 3, 3